

Zwei Arten der spez. Wärme des Gitters mit mehreren Atomen pro Elementarzelle zu beschreiben

- Debye für alle Zweige (bereich des Festes)
- Debye für akustische, Einstein für optische Zweige  
Einstein Modell

Jedes optische Zweig trägt  $\frac{k_{WE}}{e^{\frac{k_{WE}}{kT}} - 1}$  zur Energiedichte bei, d.h. fest Frequenz  $\omega_E \Rightarrow$  spez. Wärme

$$C_v^{opt} = 3(p-1) \frac{Nk}{V} \left( \frac{k_{WE}}{kT} \right)^2 \frac{e^{\frac{k_{WE}}{kT}}}{\left( e^{\frac{k_{WE}}{kT}} - 1 \right)^2}$$

Discussion ①  $kT \gg k_{WE}$ :  $C_v^{opt} = \frac{3(p-1)}{V} Nk$ , d.h.

$$C_v = C_v^{Deb} + C_v^{opt} = 3R \text{ für 1 Mol Atome}$$

aber akustische Zweige

②  $kT \ll k_{WE}$ :  $C_v^{opt} \sim \left( \frac{k_{WE}}{kT} \right)^2 e^{-\frac{k_{WE}}{kT}}$ , d.h.  $C_v^{opt} \rightarrow 0$  exponentiell ( $\rightarrow 0$ )

## 5.3 anharmonische Effekte

Therme höhere Ordnung in  $U^{Gitter}$  (Gitterpotential)

- Phononen als Eigenzustände des harmonischen Kristalls sind nicht mehr Eigenzustände des anh.- Kr.
- Phononen weiterhin 1. Näherung des anharm. Kristalls mit endl. Lebensdauer  
⇒ Zerfall eines Phonons in zwei andere: durch  $O(a^3)$  in  $U^{Gitter}$

## 5.4 Thermische Deformierung

Thermischer Deformationskoeffizient:  $\alpha = \frac{1}{V} \frac{\partial V}{\partial T} \Big|_P = \frac{1}{3V} \frac{\partial V}{\partial T} \Big|_P = \frac{1}{3B} \frac{\partial P}{\partial T} \Big|_V$

Kompressionsmodul  $B = -V \frac{\partial P}{\partial V} \Big|_T$  ("Bulk Modulus")

Rechnung (Röhrenen) für Gitterschwingungen

$$\alpha = \frac{1}{3B} \left( \frac{2}{\partial V} \frac{\partial \omega_s}{\partial \nu} \right) \frac{\partial \nu}{\partial T} \langle n_s \rangle$$

- in harmon. Näherung hängt  $\omega_s$  nicht von  $V$  ab, d.h.  $\frac{\partial \omega_s}{\partial V} = 0$

$$\alpha = 0 \text{ und } C_P = C_V$$

## Zusammenhang zw. $\alpha$ und $C_V$ ?

Dazu  $C_V = \sum_{\vec{k}s} \frac{\hbar \omega_{\vec{k}s}}{V} \frac{\partial}{\partial T} \langle n_{\vec{k}s} \rangle$

$$\alpha = \frac{1}{3B} \sum_{\vec{k}s} -\frac{V}{\omega_{\vec{k}s}} \frac{\partial}{\partial V} \omega_{\vec{k}s} \cdot \frac{1}{V} \hbar \omega_{\vec{k}s} \frac{\partial}{\partial T} \langle n_{\vec{k}s} \rangle$$

$$= -\frac{\partial \ln(\omega_{\vec{k}s})}{\partial \ln(V)} = \gamma_{\vec{k}s} = C_V(T) \text{ spez. Wärme der Moleküle}$$

**Grüneisen-Parameter**  $\gamma = \frac{\sum_{\vec{k}s} \gamma_{\vec{k}s} C_V(T)}{C_V}$

$$\Rightarrow \alpha = \frac{\delta^0 C_V}{3B}$$

**Debye-Modell**: Alle Frequenzen mit  $\omega_j$ :  $\gamma_{\vec{k}s} = -\frac{\partial \ln(\omega_{\vec{k}s})}{\partial \ln(V)} \Rightarrow \alpha \propto C_V$   
 damit  $\alpha \propto T^3$  für  $T \ll \Theta_D$ ,  $\alpha \propto \text{const}$  für  $T \gg \Theta_D$ , jeweils  $\delta(T) \approx 0$  ist  
 bei mittleren Temperaturen starke Abweichungen  $\delta = \delta(T)$

- In Metallen tragen die Leitungselektronen ebenfalls zur therm. Ausdehnung bei.

## 5.5 Wärmeleitfähigkeit des Gitters

**Im Festkörper**: Wärme transport durch Phononen und freie Elektronen: Wärmeleitfähigkeit  $\alpha = \alpha^{ph} + \alpha^e$

**In Metallen** meist  $\alpha^e \gg \alpha^{ph}$  aber gute Einkristalle z.B. Al, O<sub>3</sub>, Si oder natürlich Diamant hohe WL bei 300 K

Man kann zeigen: idealer Kam Kristall hat unendl. hohes  $\alpha^{ph}$

**Im Folgenden** WL eines Isolators  $\alpha^{ph} = \alpha^e$

**Nichtgleichgewichtszustand**  $\langle n_{\vec{k}s} \rangle$  Funktion des Orts, Struktur:

- Beruhrt mit lokalem Gleichgewicht, d.h. Ort abh. nur schwach
- Unstark in  $\vec{k}$  zulassen, dass Phonen in gewissen Raumbereich lokalisiert ist („Wellenpaket“) im Folgenden Wellenpaket mit Schwerpunkt  $\vec{k}$  am Ort x

**WL def. durch**:  $\dot{q} = -\alpha \nabla T$  (\*\*\*)  $\dot{q}$  Wärmestromdichte

$T_1 > T_2$  Im Zeitintervall  $\Delta t$  treffen Phononen auf

Fläche  $F$ , die sich im Zylinder der Höhe  $v_x \Delta t$  befindet.

$$\dot{q} = \frac{1}{V} \sum_{k,s} \tau_{ks}^l \omega_{ks} \langle u_{ks} \rangle v_{x,ks}$$

$$v_x = \frac{\partial \omega}{\partial k_x} \quad \text{mittlere Gruppengeschw. des Wellenpakets}$$

(1. dim Wärme fluss)

Zur thermischen Gg:  $\dot{q}_x = 0$  Wärme fließt nur wenn  $\langle u \rangle$  um  $\langle u \rangle^*$ -Wert  $\langle u \rangle^*$  abweicht

$$(*) \quad \dot{q}_x = \frac{1}{V} \sum_{k,s} \tau_{ks}^l \omega (\langle u \rangle - \langle u \rangle^*) v_x \quad (\text{Indizes } k, s \text{ weggelassen})$$

Zeitliche Änderung von  $\langle u \rangle$  in einem lokalen Bereich durch

- Diffusion von Phononen aus Nachbargittern
- Phononenzerfall

$$\frac{d\langle u \rangle}{dt} = \left. \frac{d\langle u \rangle}{dT} \right|_{\text{Diff}} + \left. \frac{d\langle u \rangle}{dT} \right|_{\text{Zerfall}}$$

spezielle Form der „Boltzmann-Gleich.“

Stationärer Zustand (nicht gg Zustand)  $\frac{d\langle u \rangle}{dt} = 0$

$$\text{Phononenzerfall: } \left. \frac{d\langle u \rangle}{dT} \right|_{\text{Zerfall}} = - \frac{\langle u \rangle - \langle u \rangle^*}{\tau} \quad \text{Relaxationszeitansatz}$$

$\tau$  mittlere Zerfallszeit

$$\text{Diffusionsform: } \left. \frac{d\langle u \rangle}{dT} \right|_{\text{Diff}} = \lim_{\Delta t \rightarrow 0} \frac{1}{\Delta t} (\langle u(x-\Delta t) \rangle - \langle u(x) \rangle)$$

$$= \lim_{\Delta x \rightarrow 0} \frac{v_x}{\Delta x} (\langle u(x-\Delta x) \rangle - \langle u(x) \rangle)$$

$$= -v_x \frac{\partial \langle u \rangle}{\partial x} = -v_x \frac{\partial \langle u \rangle}{\partial T} \frac{\partial T}{\partial x}$$

mit lokalem therm. Gg  $\langle u \rangle \rightarrow \langle u \rangle^*$

$$\left. \frac{d\langle u \rangle}{dT} \right|_{\text{Diff}} = v_x \frac{\partial \langle u \rangle^*}{\partial T} \frac{\partial T}{\partial x}$$

$$\text{Einsetzen in (*): } \dot{q}_x = - \frac{1}{V} \sum_{k,s} \tau_{ks}^l \omega v_x^2 \frac{\partial \langle u \rangle^*}{\partial T} \frac{\partial T}{\partial x}$$

Vgl mit (\*\*\*) phänomenolog WL-Gl

$$\begin{aligned} \alpha &= \frac{1}{3} \sum_{k,s} v_{ks}^2 \tau_{ks}^l c_{vs}(k) & \text{mit } \tau_{ks}^l = v_{ks} \tau_{ks} \text{ mittlere Scatt.zeit} \\ &= \frac{1}{3} \sum_{k,s} v_{ks}^2 \cdot \tau_{ks}^l \cdot c_s(k) & v_{ks}: \text{Gruppengeschw.} \end{aligned}$$

• Wärmetransport eines Gases:  $\alpha = \frac{1}{3} v l c$

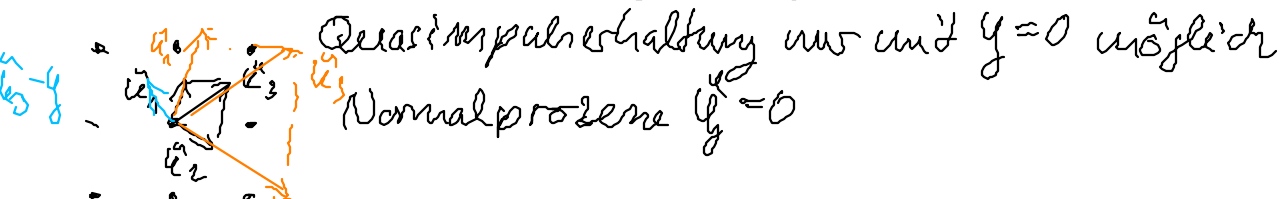
• Phononen in der Nähe des B.-Zonegrenze und opt.-Phononen ( $v_{ks}$  klein) tragen nur wenig zur WL bei

- \* im allg. Temperaturabhängigheit von  $\omega$  kompliziert zu berechnen
- \* im allg. Tensor

Hinweis: einfache  $\omega = \frac{1}{3} \sqrt{2\pi c}$

Energie eines Phonons aus zwei anderen (durch lab. Term in  $\mathcal{H}_{\text{kinetic}}$ )  $\tilde{\epsilon}_3 = \tilde{\epsilon}_1 + \tilde{\epsilon}_2 - \frac{1}{2}\mathbf{q}^2$

Teilk Temp: ( $T \ll \Theta_0$ ) nur langwellige Phononen aufgrund:  $\tilde{\epsilon}_1, \tilde{\epsilon}_2, \tilde{\epsilon}_3 \ll \frac{1}{2}\mathbf{q}^2$



Höher Temp: ( $T \gg \Theta_0$ ) Prozesse mit  $\mathbf{q} \neq 0$  möglich „Umklappprozesse“  
Bedingung Phonon muss  $\mathbf{k}_3 \approx \frac{1}{2}\mathbf{q}$  und damit Energie  $\approx \frac{1}{2}k_3\omega$   
Wahrscheinlichkeit  $\sim e^{-\frac{T_0}{T}}$  mit  $T_0 \approx \frac{1}{2}\Theta_0$ , damit Stoßzeit  $\tau \approx \frac{T_0}{T}$

Noch Höher Temp: ( $T \gg \Theta_0$ ) exponentiell  $\sigma \sim T^{-x}$  mit  $x \approx 1$

### Extusive Störprozesse für Phononen

- Pointdefekte (auch verschiedene Isotope)
- Versetzungen, Korngranzen
- Besonders bei Einkristallen an freien Oberflächen